

防衛大学校 山口 晴幸・大平 至徳・木暮 敬二

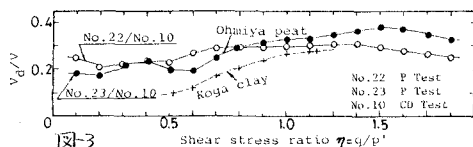
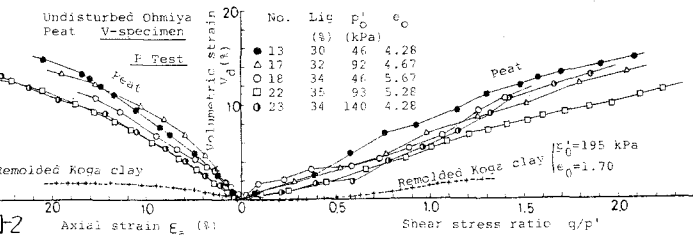
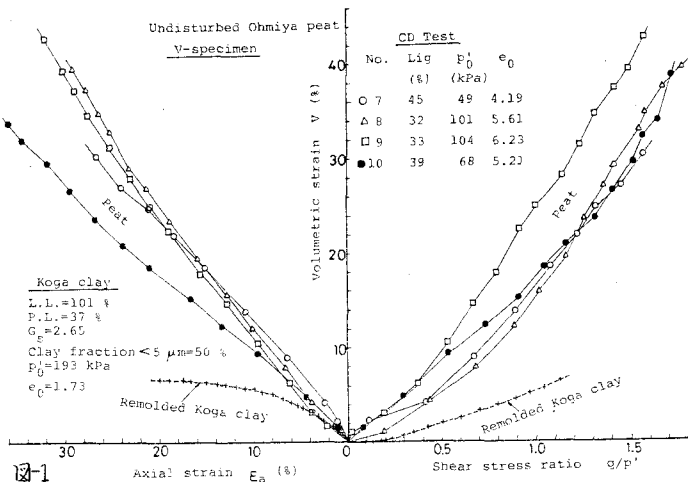
1. はじめに 泥炭の力学特性を支配する主因子は、含有されている繊維性有機物量(Lig)と σ_c の軟硬程度や形状寸法に関連する腐植の度合(分解度)Dおよび構造異方性(A)と考えられる。そこで、試験によって得られる各種力学的パラメータ σ_c は、 σ_c の複雑な関数 $\sigma_c = f(Lig, D, A)$ として表わされるだろう。著者らは、不攪乱泥炭を対象として σ_c およびAをほぼ固定した三軸試験結果から、泥炭のせん断特性が有機物量(Lig)と σ_c とを尺度として無機質粘土の延長線上に位置づけられることの一部を明らかにして来た。また、テブリング理論を若干修正することにより、泥炭の応力 σ_c のみ関係および非排水強度と過圧 σ_c 比との関係を系統立てて整理できる可能性を示して来た。ここでは、泥炭要素の全体積変化量に占めるダレクタンシー量の割合が無機質粘土の場合と非常に類似していることと排水三軸圧縮試験結果より明らかにし、正規圧縮粘土を対象としたテブリング理論の検証を試みている。

2. 実験 埼玉県大宮市郊外の泥炭地に鉛直にシコルチューブを貫入して採取した不攪乱泥炭試料を用いた。 σ_c の物理的諸性質を右表に示す。直径50mm, 高さ250mmに成形した円柱体試体と通常の三軸試験機を用いた等方正規圧縮した後、応力制御により側圧一定排水圧縮試験(CD試験)と平均有効主応力一定排水圧縮試験(P試験)を実施した。また、無機質粘土との比較のために、繰り返し再圧縮した古河粘土(物理的性質は後述する図表参照)について同種の試験を行った。

3. 実験結果と考察 各種の圧縮力 σ_c のもとで等方正規圧縮した泥炭に関する側圧一定排水圧縮試験(CD試験)と平均有効主応力一定排水圧縮試験(P試験)による両結果をそれぞれ図1と2に示す。また同図には $\sigma_c = 195 \text{ kPa}$ のもとで圧縮した古河粘土についての結果も併記してある。両図より明らかのように、泥炭のせん断過程での体積変化量は古河粘土の無機質粘土と比較してはるかに大きいことがわかる。

この結果は、泥炭要素が植物の根や葉等が部分的に分解した繊維性有機物と主体として構成されており、極めて多孔質で高圧縮性の材料であることを裏付けている。図1のCD試験では、せん断応力の増大に伴い平均有効主応力も増大するので、生じる全体積変化量はせん断応力成分に起因するもの、即ち、負のダレクタンシー量と圧縮によるものから成っている。これに対して、図2でのP試験の結果では、せん断中平均有効主応力が一定に保たれているので、生じる体積変化量

Properties	Amounts
Natural water content w_p (%)	330 - 1200
Natural void ratio e_n	7 - 18
Specific gravity G_s	1.60 - 2.30
Degree of saturation S_t (%)	100
Ignition loss Lig (%)	30 - 80
Degree of decomposition D (%)	30 - 60
pH	5 - 7
Liquid limit LL (%)	-
Plastic limit PL (%)	-



はダイレイタンス量のみである。そこで、両試験結果に基づき、CD試験での体積ひずみ v_v に対するP試験での体積ひずみ v_v^* の比 v_v/v_v^* と応力比(%)に対してプロットしたのが図3である。興味深いことは、図1と2に示したように、泥炭と粘土ではせん断過程での体積変化量に極端な相違があるにもかかわらず、広範囲な応力比に亘って v_v/v_v^* 値がほぼ0.3と成り、 v_v/v_v^* 関係がほぼ一致する傾向を示していることである。このことは、土要素のせん断過程での全体積ひずみ中に占めるダイレイタンス量の割合が有機物量の含有程度によってあまり影響を受けない、泥炭と無機質粘土との体積変化挙動の類似性の一端を示すものである。図4, 5は同様にCD試験結果を用いて、圧縮による体積変化量、即ち、等方応力成分に起因する体積ひずみ v_c と求め、全体積ひずみ v_v から v_v と差引いて算定したダイレイタンス量 $v_d^* (= v_v - v_c)$ および v_d^*/v と応力比(%)との関係を v_v/v_v^* とプロットしたものである。泥炭の場合 v_c と v_d^* はそれぞれ

$$v_c = \frac{e_0}{1+e_0} \left\{ 1 - \left(\frac{p'}{p'_0} \right)^{-\bar{c}_c} \right\} \quad (1)$$

$$v_d^* = v - \frac{e_0}{1+e_0} \left\{ 1 - \left(\frac{3}{3-\eta} \right)^{-\bar{c}_c} \right\} \quad (2)$$

ここに、 e_0, p'_0 はせん断開始時の空隙比と圧縮圧、 $p' = \sigma_1 + 2\sigma_3/3$ は \bar{c}_c は $\log e \sim \log p'$ 面上で直線近似したときの等方正規圧縮線の勾配である。図5に示す $v_d^*/v \sim \eta$ 関係は図3での $v_v/v_v^* \sim \eta$ 関係と類似した傾向を示し、せん断中の全体積ひずみに占めるダイレイタンス量の割合はほぼ一定値となるが、 v_d^*/v 値は v_v/v_v^* 値より多少大きな値と成っている。そこで、図3で示した泥炭の結果が河川粘土の結果と類似していることを示したが、この関係が広範な粘土土壌にも適用できるものがあるかを等方正規圧縮粘土を対象として v_v/v_v^* ひずみ関係の定量化を試みるグリンザ理論⁵⁾を取り上げ検証している。OriginalおよびModified 両Cam-Clayモデルでは、 $v_d^*/v \sim \eta$ 関係は次式で表わされる。

$$v_d^*/v = \frac{\frac{\lambda_0 \eta}{M}}{\frac{\lambda_0}{M} \eta + \ln \left(\frac{3}{3-\eta} \right)} \quad (3): \text{Original Cam-Clay Model.}$$

$$v_d^*/v = \frac{\lambda_0 \ln \left(\frac{M^2 + \eta^2}{M^2} \right)}{\lambda_0 \ln \left(\frac{M^2 + \eta^2}{M^2} \right) + \ln \left(\frac{3}{3-\eta} \right)} \quad (4): \text{Modified Cam-Clay Model.}$$

ここに、 $\lambda_0 = 1 - C_s/C_c$, C_c, C_s は圧縮指数と膨張指数、 M は限界状態での応力比。土質による λ_0 と $M (= \frac{6 \sin \phi'}{3 - \sin \phi'})$ の値が異なるが、図6に示すMayne⁶⁾が整理した等方正規圧縮粘土に関する ϕ' と λ_0 との関係を利用した。ここでは、 (ϕ', λ_0) が $(20^\circ, 0.4)$, $(20^\circ, 0.9)$, $(35^\circ, 0.4)$, $(35^\circ, 0.9)$ と $\phi' = 32.5\lambda_0 + 6.5$ (5)とした場合について、 $v_d^*/v \sim \eta$ 関係を計算し図7と8に示す。 ϕ' と λ_0 を平均的に最も代表近似した(5)式に対する図8に依ると、 $\eta > 0.5$ 領域では、両モデルの結果は、図5に示した泥炭の結果と非常に類似した傾向を示している。このことから、土要素の全体積変化量に占めるダイレイタンス量の割合は有機物量の程度にあまり影響を受けないことが示唆される。(参考文献) 1) 山口(1983): 第10回土工学研究会発表講演集、II-205, 2) 山口(1983): 工学部28周年記念講演会発表資料、II-205, 3) 山口(1983): 糸田時道路会談 論集(船論集) pp.49-50, 4) H. Yamaguchi, et al. (1982): M.N.D.A, Vol. 6, 5) Mayne, P.W. (1980): Proc. ASCE, Vol. 106, No. GT11, PP. 1219-1222, 22, No. 1, PP. 49-65, 6) Roscoe et al. (1968): Engineering Plasticity, Cambridge Univ. Press, PP. 535-609.

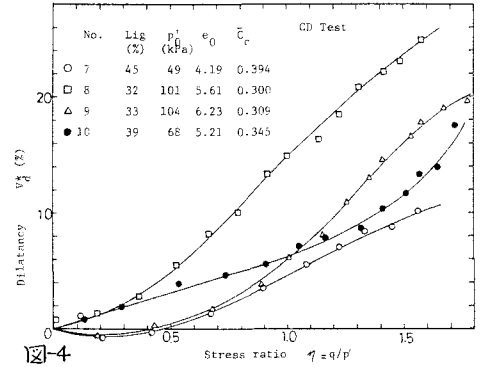


図4

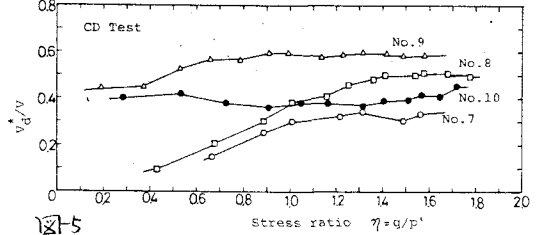


図5

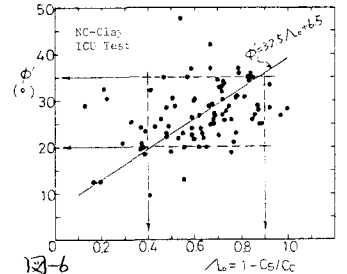


図6

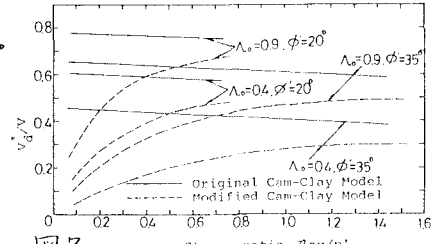


図7

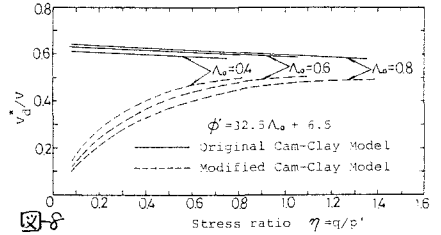


図8